

## Study of Bending Moment on Anchor Batter Piles Driven into Weak Ground

(Tadayuki Sano)

(Shinji Kondo)

---

:

2

(1)

1.5/4 s Bp/4EI

(2)

5

95 124

---

## Synopsis :

It is well known that batter piles when driven into weak ground are subjected to bending moment by the settlement due to consolidation, but the distribution of the bending moment has not been clearly analyzed as yet. In the case of anchor batter pile driven into just behind the flexible sheet pile wall in the coupled pile-anchored sheet piling bulkhead method, the problem becomes much more complicated because of its involvement with a two-dimensional settlement due to consolidation. The authors applied a formula about the partial active earth pressure to the load on batter piles, and proposed a calculation method of bending moment under the following two assumptions: (1) The batter pile is considered a simple beam supported both at the top and a point of  $1.5/4 s Bp/4EI$  below an active failure surface. (2) The load on a batter pile is a partial active earth pressure due to a soil wedge in the angle of plane failure surface. Calculated moments under the above assumptions agreed well within the range of 95% to 124% with the values obtained by five field experiments.

624.131.54

# 軟弱地盤における挿え斜ぐいの曲げモーメントについて

Study of Bending Moment on Anchor Batter Piles Driven into Weak Ground

佐野忠行\*

Tadayuki Sano

近藤伸治\*\*

Shinji Kondo

## Synopsis:

It is well known that batter piles when driven into weak ground are subjected to bending moment by the settlement due to consolidation, but the distribution of the bending moment has not been clearly analyzed as yet. In the case of anchor batter pile driven into just behind the flexible sheet pile wall in the coupled pile-anchored sheet piling bulkhead method, the problem becomes much more complicated because of its involvement with a two-dimensional settlement due to consolidation.

The authors applied a formula about the partial active earth pressure to the load on batter piles, and proposed a calculation method of bending moment under the following two assumptions:

(1) The batter pile is considered a simple beam supported both at the top and a point of  $15/4(k_0 R_s)/4\text{ FT}$  below

an active failure surface.

(2) The load on a batter pile is a partial active earth pressure due to a soil wedge in the angle of plane failure surface.

後に存在する斜ぐいの曲げモーメントの計算方法  
について述べるものである。たゞ鋼矢板壁の上う

Active failure surface

A E

の考え方があるがここでは最も一般的に利用され

$FL \cdot \text{斜ぐいの断面剛性} (k_s, \text{cm}^3)$

ている Y.L. Chang の計算式のうち埋込杭の不動点位置に相当する海底面より下  $\pi/2\beta - 1.5/\beta$  を鋼矢板壁の仮想海底面位置、すなわち主側崩壊面の始点として以後の計算を進める。1.5/ $\beta$ について  
は2重鋼矢板壁の換算有効壁高を考える場合で

$k_b$  : 地盤反力係数 ( $\text{kg}/\text{cm}^2$ )

$B_p$  : 斜ぐいの幅 ( $\text{cm}$ )

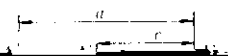
$\xi$  : 主側崩壊角

$\alpha$  : 斜ぐいの傾斜角

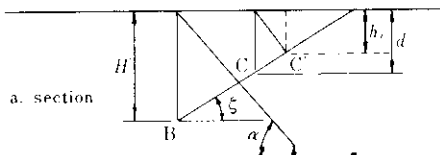
である。 $\beta = \tan \alpha$  とする。

#### 参考文献

Fig. 2 に示すようにつぎのように仮定する。



となるため以上より斜ぐいに作用する分担土圧合  
計  $P_b$  はつきの式で求められ、



$$\begin{aligned}
 P_b &= P_z + P' \\
 &\approx K'_A \gamma \eta^2 \sin^2 \alpha (H'^2 z_0 \\
 &- H' z_0^2 \cot \theta \cdot \tan \xi + \frac{1}{3} z_0^3 \cot^2 \theta \cdot \tan^2 \xi \\
 &+ \frac{1}{2} H'^2 B_0) \quad (\text{式 } 2)
 \end{aligned}$$

たおけ現象を定量的に表現する係数を算出し、そのため  $\pi/4$  とすれば  $\beta_b = 0.246$  となり

の斜ぐいの安全性のチェックを第一の問題とし、  
圧密が 100% 完了した時点でのわち斜ぐいにと  
つて最も危険側の状態を対象としたためである。い

となり、斜ぐいに H 390 × 300 × 10 × 16 を使用して  
いるため  $\beta_b$  も (2) 式より

$$\beta_b = \sqrt{\frac{0.4 \times 30}{1}} = 0.246 (\text{p.u.})$$

重強度  $q$ ) を受けたときの単純梁の最大曲げモーメント  $M_{\max}$  は次式で表される。

$$\left. \begin{aligned} M_{\max} &= \frac{(L+2L_1)}{9} \times x_m \times q \\ x_m &= \sqrt{\frac{L(L+2L_1)}{3}} \quad (L \geq L_1) \end{aligned} \right\} \cdots (13)$$

よって(13)式に  $L = 7.29m$ ,  $L_1 = 6.10m$  を代入す

$$M_{\max 1} = 56.62 \text{t}\cdot\text{m}/\text{本} \quad (\theta = \frac{\phi}{4} = 7.5^\circ \text{ のとき})$$

となる。

## 6. 計算値と実測値との比較

粘性地盤に施工された一組の式鋼矢板工法に

る。

おいて斜ぐいの曲げモーメントを 5箇所で実測し

Table 2 Comparison of calculated moment with measured moment

		Maximum moment	Point of $M_{max}$	Point of $M = 0$
1				
2				
3				
4				
5				
6				
7				
8				
9				
10				
11				
12				
13				
14				
15				
16				
17				
18				
19				
20				
21				
22				
23				
24				
25				
26				
27				
28				
29				
30				
31				
32				
33				
34				
35				
36				
37				
38				
39				
40				
41				
42				
43				
44				
45				
46				
47				
48				
49				
50				
51				
52				
53				
54				
55				
56				
57				
58				
59				
60				
61				
62				
63				
64				
65				
66				
67				
68				
69				
70				
71				
72				
73				
74				
75				
76				
77				
78				
79				
80				
81				
82				
83				
84				
85				
86				
87				
88				
89				
90				
91				
92				
93				
94				
95				
96				
97				
98				
99				
100				
101				
102				
103				
104				
105				
106				
107				
108				
109				
110				
111				
112				
113				
114				
115				
116				
117				
118				
119				
120				
121				
122				
123				
124				
125				
126				
127				
128				
129				
130				
131				
132				
133				
134				
135				
136				
137				
138				
139				
140				
141				
142				
143				
144				
145				
146				
147				
148				
149				
150				
151				
152				
153				
154				
155				
156				
157				
158				
159				
160				
161				
162				
163				
164				
165				
166				
167				
168				
169				
170				
171				
172				
173				
174				
175				
176				
177				
178				
179				
180				
181				
182				
183				
184				
185				
186				
187				
188				
189				
190				
191				
192				
193				
194				
195				
196				
197				
198				
199				
200				

に複雑な挙動を示す。ここでは壁体背後の控え斜ぐいに対して圧密沈下等により、どのような曲げモーメントが作用するかについてその計算方法を提案し検討した。その結果を整理すると以下のようにになる。

(1) 曲げモーメントを計算する場合の斜ぐいモデルとしては頭部結合部と主崩壊面以下  $1.5/\beta_b$  のレベルを支点とする単純梁と仮定し計算したが、最大曲げモーメント発生点などモーメントの分布

密度は 100% として計算した。平面崩壊角を考慮した方法がバラツキが少ないと想はれることは単純にくい幅の 3 倍分の土圧で計算する方法に比べて裏込土の土性を主体として考えたためと思われる。

これらの結果より圧密沈下によって組ぐい式鋼矢板工法の斜ぐいに発生する曲げモーメントをここで提案した計算式により、ある程度推定できることがわかった。しかしながら周知のように地盤状況は非常に多種類にわたって存在し、上述の提

崩壊面の鋼矢板上の始点すなわち仮想海底面は実際の海底面以下  $1.5/\beta_s$  とした。ここに  $\beta_b$ ,  $\beta_s$  は斜ぐいまたは鋼矢板の断面剛性と地盤強度から定まる特性値である。

(2) 荷重の大きさとしては平面崩壊角  $\theta$  を考慮した計算方法を提案し検討を試みた。直面荷重を  $R$

特に平面的崩壊角  $\theta$  については裏込土に粘性土が使用された場合は全く異なる考え方が必要であろう。また  $\theta$  の大きさについても内部摩擦角との相関性を別途実験によって把握しなければならないであろう。さらに地震地における動的な問題等々多くの重要な課題である。